

## 사용후핵연료의 방사선량 세기와 차폐체가 OFS에 미치는 방사선량분포 계산

고광옥, 박일진, 김종수, 민경식, 박재범

한국원자력연구소

대전시 유성구 덕진동 150

### 1. 서론

월성원자력발전소 수중저장고 내에 저장된 CANDU 사용후핵연료의 핵물질 안전조치 목적으로 광섬유 섬광검출기(OFS)를 사용한 검증장비를 개발되고 있다. 본 연구는 이론적 시뮬레이션과 OFS에 의한 검증결과를 상호 비교함으로써 결과에 대한 신뢰성을 확보하는데 목적이 있다. 이를 위해 차폐체의 beam collimation에 의한 사용후핵연료의 위치 확인과 각각의 사용후핵연료의 방사선 세기 즉, 연소도 차이에 따른 방사선량분포를 계산하고자 한다.

### 2. 방법 및 결과

시뮬레이션을 위해, 사용후핵연료의 배열은 2줄 7층이고, 이들 각각의 외형은 반지름 5.125cm, 길이 49.53cm 그리고 물질은  $\text{UO}_2$ 이다. 그리고 방사선은 실제와 유사하게 bundle의 임의의 지점에서 감마선이 방출되도록 하였고, 연소도는 7500MWd/MTIHM, 냉각기간은 10년 그리고 1 keV에서 9.5 MeV의 감마선 에너지범위가 모사에 이용되었다[1]. OFS는 반지름 0.5cm, 높이 110cm인 두 개를 높이방향으로 0.5cm 간격씩 분할하였다. 즉, 사용후핵연료의 높이 7층에 대한 220 곳이 방사선량의 분포 계산을 위한 측정지점으로 정하였다. 두 OFS는 서로의 방사선 영향을 줄이기 위해 5cm 간격을 두고 있으며, 하나(close OFS)는 모든 면을 납으로 차폐하였고, 다른 하나(open OFS)는 한쪽 면에 beam collimation을 위한 1cm hole을 갖고 있다. 이 차폐체의 크기는 두께 1.6cm, 세로 10cm, 높이 110cm이다.

계산에 사용한 코드는 몬테칼로 계산 기법을 사용하는 대표적인 방사선 수송코드인 MCNPX 2.4 버전이다[2]. Tally는 f6 tally를 사용하였고, history는 사용후핵연료의 크기에 비해 OFS의 크기가 작기 때문에 오차를 줄이기 위해  $18 \times 10^8$ 개로 계산하였다.

방사선량의 변화에 따른 OFS의 선량변화 분포를 계산하기 위하여 계산된 방사선량에 대한 정상 사용후핵연료는 1(범례, open OFS(1))로 가정하였으며, dummy, 저 및 고 연소도는 각각 0, 0.5 그리고 1.5로 가정하였고 이들은 3 번째 층에 두었다. 또한 사용후핵연료의 위치 즉, hole 방향의 사용후핵연료인지 그 반대방향의 사용후핵연료인지의 구별하기 위하여 이들

방향으로부터의 방사선량을 각각 계산하였고 그 차로부터 이를 식별하고자 하였다. 그림 1은 hole 방향에 위치한 사용후핵연료가 정상 상태와 방사선량 변화의 경우에 대한 선량분포를 보여주고 있다. 정상의 경우 각각 사용후핵연료의 존재 유무를 알 수 있는 peak가 동일한 높이로 나타났고, 3 층의 저 및 고 연소도의 경우는 정상 peak와 비교하여 각각 0.5 또는 1.5 배 작거나 크게 나타났다. 즉, 방사선의 세기에 비례하였다. 반면에 dummy의 경우는 뚜렷한 peak를 찾을 수 없을 뿐만 아니라 비례성도 없음을 알 수 있었다. 그림 2는 그 반대방향 즉, hole이 없는 방향의 사용후핵연료가 변화에 따른 결과를 보여주고 있다. 그 결과를 Hole 방향의 결과(그림 1)와 비교해 보면 방사선량 값, peak 모양 그리고 비례성이 동일하였다. 반면 dummy인 경우는 그 peak가 Hole 방향에 비해 선명하였고 그 방사선량 값 또한 많음을 알 수 있다.

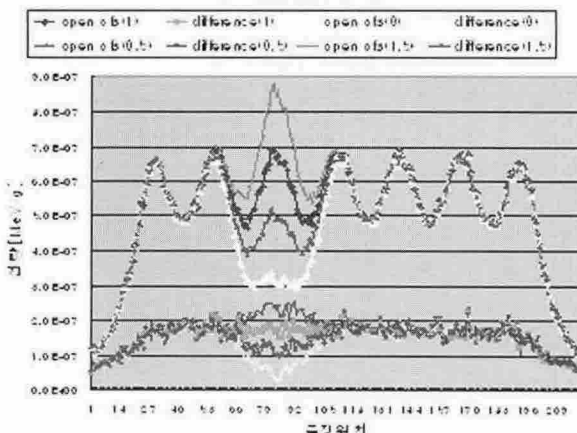


그림 1. 14개의 bundle에서 hole이 있는 방향의 bundle의 activity가 변화할 때 선량 분포

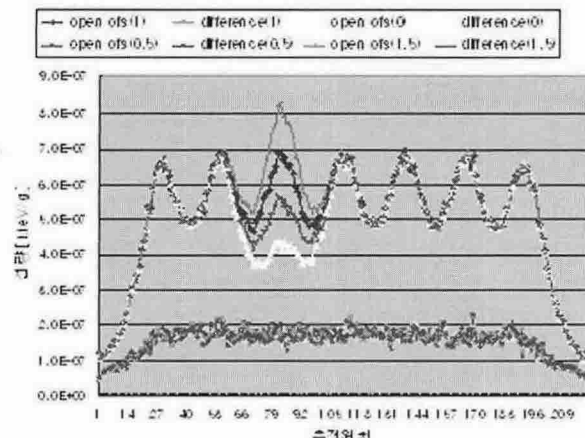


그림 2. 14개의 bundle에서 hole이 없는 방향의 bundle의 activity가 변화할 때 선량 분포

그리고 open OFS에 대한 close OFS의 차(difference (1))의 경우 hole 방향의 방사선량이 달라지면 그 차이도 변하지만, 반대 방향의 변화는 거의 일정한 값으로 계산되었다.

따라서 하나의 open OFS를 사용하는 경우, 그 측정한 값은 bundle 위치와 일치하는 뚜렷한 peak를 보여주고 있으나 양쪽 bundle의 영향을 모두 받음을 알 수 있다. 두 개의 OFS를 사용하여 차폐체 효과를 고려한 경우 hole이 있는 방향의 사용후핵연료의 영향을 받아 한쪽 방향에 대한 선량분포를 예측할 수 있었다. 따라서 open OFS와 차를 함께 분석함으로써 사용후핵연료 검증이 가능한 것으로 계산되었다.

### 3. 결 론

#### 4.

본 연구는 월성원자력발전소 수중저장고의 CANDU 사용후 핵연료 검증을 목적으로 차폐체의 collimation 효과에 의한 방사선량을 정상 상태와 그렇지 않은 경우 즉, dummy, 저 및 고 연소도에 대한 선량분포를 계산하고, 그 결과로부터 dummy의 존재 유무뿐만 아니라 사용후핵연료의 위치를 구별할 수 있었다. 즉, Hole이 있는 방향의 사용후핵연료의 방사선량이 변화하면 open OFS의 방사선량뿐만 아니라 open OFS와 close OFS의 차 또한 변화하며, hole의 뒤 방향의 사용후핵연료의 방사선량이 변화하면 open OFS의 방사선량만 변화할 뿐 open OFS와 close OFS의 차는 거의 일정한 것으로 시뮬레이션 결과 나타났다. 따라서 현장여건을 감안하여 볼 때, 고 방사선에 대한 매우 얇은 두께의 beam collimator를 사용하는 OFS는 사용후핵연료의 연소도 변화에 따른 선량 분포와 그 위치도 확인이 가능하기 때문에 사용후핵연료 검증장비에 활용할 수 있다고 판단된다.

### REFERENCES

- [1] K.D. Veal, M.E. Abhold, and H.O. Menlove, Verification of CANDU spent fuel in sealed storage casks, LA-UR-00-751
- [2] LANL, MCNPX<sup>TM</sup> User's Manual, Los Alamos National Laboratory, MCNP<sup>TM</sup> 2.4.0 LA-CP-02-408, 2002